

**ОПРЕДЕЛЕНИЕ ПАРАМЕТРОВ ПРЕССОВАНИЯ
ПОРИСТЫХ ТЕЛ ЗАРЯДОМ ВВ
ЧЕРЕЗ МЕТАЛЛИЧЕСКУЮ ПЛАСТИНУ**

A. A. Штерцер

(Новосибирск)

В работах [1, 2] предложены высокоэффективные методы определения параметров ударных волн и течений за ними, основанные на использовании импульсных рентгенограмм; единственный их недостаток с точки зрения практического использования — необходимость рентгеновской съемки процесса в каждом конкретном случае. Весьма интересна работа [3], в которой предложено решение двумерной задачи о погружении слоя пористого материала в скользящем режиме. Решение, однако, пригодно только для случаев очень малой начальной пористости материала. В [4] решается задача о прессовании порошка в цилиндрическом контейнере в предположении о мгновенной детонации заряда ВВ. При этом плотность материала контейнера и порошка за фронтом ударной волны считается одинаковой, что сильно сужает возможности использования решения на практике. К тому же не всегда применимо допущение о мгновенной детонации.

В настоящем сообщении предлагается приближенный метод расчета параметров ударной волны в порошке, нагруженном через металлическую пластину слоем ВВ в режиме скользящей детонации. В качестве исходной информации в расчет вкладываются толщина слоя, плотность и скорость детонации ВВ, толщина и плотность материала пластины, начальная плотность и ударная адиабата порошка. Приводятся также результаты экспериментальной проверки предлагаемого метода.

Для расчета скорости метания пластины зарядом ВВ в режиме скользящей детонации используются следующие формулы [5]:

$$\beta_0 = cr/(r+2,71), \quad (1)$$

$$u_0 = 2D \sin(\beta_0/2), \quad (2)$$

где $c = 0,71$ и $0,83$ для гексогена и аммонита соответственно; u_0 — скорость пластины; β_0 — угол поворота пластины при метании; D — скорость детонации ВВ; $r = m_1/M$ (m_1 — масса заряда ВВ на единицу площади; M — масса пластины на единицу площади). Если под пластиной поместить порошок, то угол поворота будет, естественно, меньше рассчитанного по формуле (1).

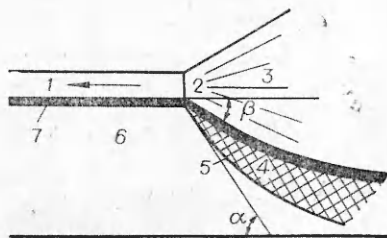
На рис. 1 показана схема прессования порошка через пластину (1 — ВВ, 2 — фронт детонации, 3 — продукты детонации ВВ, 4 — область скатого порошка, 5 — фронт ударной волны в порошке, 6 — область нескатого порошка, 7 — пластина, β — угол поворота пластины, α — угол наклона ударной волны в порошке). Используя (1) и (2), можно получить выражение для импульса, передаваемого слоем ВВ метаемой пластине, если она повернулась на угол β_0

$$I = k(\beta_0) \rho_1 \delta_1 D, \quad (3)$$

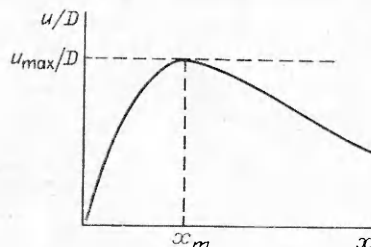
$$k(\beta_0) = 2(c - \beta_0) \sin(\beta_0/2)/2,71\beta_0. \quad (4)$$

Здесь ρ_1 и δ_1 — плотность и толщина слоя ВВ соответственно. Формулу (3) можно также получить из соображений размерности, а коэффициент $k(\beta_0)$ рассчитать для заданного угла, решая задачу о разлете продуктов детонации. По формулам (3) и (4) можно определить полный импульс, передаваемый на единицу площади преграды, «подающейся» на угол β под действием продуктов детонации. При этом не имеет значения, является ли преграда пластиной или некоей сплошной средой бесконечной толщины, так как при одном и том же угле β разлет продуктов детонации будет происходить одинаково.

Пусть профиль давления, действующего на пластину, будет экспоненциальным с пиковым значением, равным давлению на фронте детонации [6],



Rис. 1.



Rис. 2.

Порошок	Коэффициенты ударной адиабаты		$\rho_{\text{с}},$ 10^3 кг/м^3	ВВ	Толщина стальной пластины, мм	$\beta, \text{ град}$	
	$a, \text{ м/с}$	b				расч.	эксп.
Алюминий	401	1,791	1,35	Аммонит 6ЖВ	2	7,5	7—9
Алюминий	401	1,791	1,35	Аммонит 6ЖВ	5	5,2	4—6
Вольфрам	35	1,420	5,40	Аммонит 6ЖВ	2	5,9	3—5
Медь	0	1,591	2,67	Гексоген	2	6,9	5—7
Никель	0	1,431	1,65	Аммонит 6ЖВ	2	8,6	3—5

П р и м е ч а н и е. Во всех опытах толщина заряда ВВ 20 мм. Скорость детонации: аммонита 6ЖВ — 3700 м/с, гексогена — 6200 м/с.

$$p_n = \rho_1 D^2 / 4, \quad (5)$$

$$p(t) = p_n \exp(-t/\theta),$$

где θ — характерное время спада давления. Проинтегрировав (5) и используя (3), получим

$$\theta = 4k(\beta)\delta_1/D. \quad (6)$$

На практике угол β обычно мал [7], поэтому можно воспользоваться одномерной моделью. Сделаем следующие допущения: скорость сжатого порошка в области между пластиной и фронтом ударной волны всюду одинакова и равна скорости пластины; давление и плотность во всей области сжатого порошка одинаковы; изменение скорости пластины мгновенно ведет к изменению скорости ударной волны S . Связь между этими величинами определяется ударной адиабатой порошка.

Воспользуемся уравнением движения пластины с переменной присоединенной массой порошка

$$p(t) = d[m(t) u(t)]/dt, \quad (7)$$

где $u(t)$ — скорость пластины и порошка за фронтом ударной волны; $m(t)$ — суммарная масса пластины и порошка, захваченного ударной волной в диапазоне времени $0 — t$. Проделав ряд преобразований и взяв $S = a + bu$ [8], получим из (7)

$$p_n \exp(-t/\theta) = \rho_{00} au + \rho_{00} bu^2 + \frac{p_n \theta (1 - \exp(-t/\theta))}{u} \frac{du}{dt}. \quad (8)$$

Введя безразмерные переменные $x = t/\theta$, $u/D = [1 - \exp(-x)]/w(x)$, получим из (8)

$$dw/dx = A + B[1 - \exp(-x)]/w(x), \quad (9)$$

где $A = 4\rho_{00}a/\rho_1D$; $B = 4\rho_{00}b/\rho_1$. Если порошок под пластиной отсутствует, то

$$w = w_0 - \text{const} = D/u_0, \quad (10)$$

где u_0 определяется по формулам (1) и (2). При наличии порошка $w(x=0)$ будет совпадать с w_0 из (10), так как в начальные моменты времени масса порошка, вовлеченного в движение, пренебрежимо мала по сравнению с массой пластины. Качественный анализ показывает, что u/D имеет вид, представленный на рис. 2. При $x = x_{\max}$ скорость пластины достигает максимума, $u/D = u_{\max}/D$, где u_{\max} — максимальная скорость пластины. Используя (2), находим угол поворота пластины с порошком под ней $\beta = 2 \arcsin(u_{\max}/2D)$.

Решение (9) проводилось на ЭВМ «Olivetti» методом Рунге — Кутта для порошков алюминия, вольфрама, меди и никеля. Ударные адиабаты для всех порошков, кроме никеля, построены методом наименьших квадратов по данным [9]. Ударная адиабата для порошка никеля построена из соображений, изложенных в [10]. Результаты расчетов и экспериментов представлены в таблице. Эксперименты по определению угла поворота пластины проводились на импульсной рентгеновской установке аналогично [7]. Расхождение расчета с экспериментом для вольфрама и никеля, по-видимому, можно объяснить большим разбросом данных по ударной адиабате в области низких давлений, сравнимых с прочностью материала [8]. Для остальных порошков экспериментальный и расчетный углы β совпадают (в пределах ошибки измерения).

В заключение автор выражает признательность А. А. Дерибасу и А. М. Ставеру за постоянное внимание к работе и В. Ф. Нестеренко и Г. Е. Кузьмину за обсуждение ряда вопросов.

Поступила в редакцию 13/V 1981

ЛИТЕРАТУРА

- Г. Е. Кузьмин, А. М. Ставер. ФГВ, 1973, 9, 6.
- Г. Е. Кузьмин. ФГВ, 1974, 10, 5.
- И. В. Симонов. ПМТФ, 1979, 4.

4. В. М. Волчков, М. А. Петрова, В. Д. Рогозин.— В сб.: Применение энергии взрыва в сварочной технике. Киев, ИЭС им. Е. О. Патона, 1977.
5. А. А. Дерибас. Физика упрочнения и сварки взрывом. Новосибирск: Наука, 1980.
6. Ф. А. Баум, Л. П. Орленко и др. Физика взрыва. М.: Наука, 1975.
7. А. М. Михайлов, А. К. Дремин. ФГВ, 1977, 13, 1.
8. Высокоскоростные ударные явления/Под ред. В. Н. Никольского. М.: Мир, 1973.
9. А. Л. Баканова, И. П. Лудоладов, И. В. Стулов. ПМТФ, 1974, 2.
10. А. М. Афанасенков, В. М. Богомолов, И. М. Воскобойников. ПМТФ, 1969, 4.

УДК 534.222.2

ДВУХФАЗНАЯ ДЕТОНАЦИЯ НАД СЛОЕМ ГОРЮЧЕГО

Н. И. Зверев, Н. Н. Смирнов
(Москва)

Существование проблем пожаро- и взрывобезопасности при транспортировке окислителей (кислорода или воздуха, обогащенного кислородом) по трубопроводам, на стенах которых имеется тонкий слой горючих материалов, обусловило интерес к теоретическим исследованиям возникновения и распространения детонации в двухфазных зарядах не перемешанных системах. Характерной особенностью детонации в таких системах в отличие от гомогенной детонации является то, что детонационный комплекс должен осуществлять не только сжигание горючей смеси, но и ее образование (фазовый переход и перемешивание горючего с окислителем). Вследствие этого зона активной реакции отстает от головной ударной волны, располагается в пристеночной области и имеет продольный размер $\sim 0,1$ м [1—3]. Энерговыделение в пристеночной зоне реакции происходит как в результате горения по всей длине зоны реакции, так и в результате собственно детонации в локальных областях в конце зоны активной реакции. Детонационная волна на границе зоны возможной детонации (т. е. области смеси, отвечающей необходимым условиям распространения детонации по концентрации и критическим размерам) вырождается во вторичную ударную волну, которая служит механизмом передачи энергии к головной ударной волне.

Таким образом, детонация над слоем горючего представляет собой неодномерный нестационарный комплекс, содержащий сильные разрывы. Режим распространения такого комплекса определяется балансом потерь и поступлений энергии к головной ударной волне за счет трения, потока тепла в слой горючего и стенки, испарения и горения (слабые возмущения) и собственно детонации (вторичные ударные волны).

Возможными механизмами смесеобразования являются диффузия испарившегося с поверхности слоя горючего и срыв капель или частиц турбулентным потоком газа. Так, например, при детонации в трубе, заполненной жидким кислородом, с тонким слоем твердого горючего на стенах основной механизм смесеобразования — срыв и перемешивание частиц горючего в турбулентном пограничном слое [4].

При детонации в трубе, заполненной газообразным окислителем, с тонким (~ 10 мкм) слоем жидкого горючего на стенах механизмом смесеобразования является диффузия паров горючего в пограничный слой. Для определения массоподачи горючего в этом случае рассмотрим двумерную задачу распространения ударной волны в полупространстве газообразного окислителя над слоем горючего. За ударной волной образуется турбулентный пограничный слой с испарением и горением.

Из уравнений сохранения потоков массы i -го компонента и энергии через поверхность раздела газ — жидкость и уравнения Клапейрона — Клаузиуса следует

$$-\left(\lambda \frac{\partial T}{\partial y}\right)_{wL} = -\lambda \left(\frac{\partial T}{\partial y}\right)_w + (\rho v)_w h_L, \quad (1)$$

$$(\rho v)_w [Y_{iw} - (Y_{iw})_L] - \rho D \left(\frac{\partial Y}{\partial y}\right)_w = 0 \quad (i = 1, \dots, N), \quad (2)$$

$$\frac{d \ln p_{Nw}}{dT_w} = \frac{h_L (T_w)'' N}{R T_w^2}. \quad (3)$$

Уравнение энергии в слое жидкого горючего в приближении пограничного слоя имеет вид уравнения конвекции

$$\rho u c_{pL} \frac{\partial T}{\partial x} + \rho v c_{pL} \frac{\partial T}{\partial y} - \lambda_L \frac{\partial^2 T}{\partial y^2}. \quad (4)$$

Уравнения пограничного слоя над испаряющейся поверхностью горючего за ударной волной в химически реагирующей смеси газов [5] допускают первые интегралы, из которых с учетом (1)–(3) получим